

Trabalho Final

EEE038 - LABORATÓRIO DE CONTROLE AUTOMÁTICO II

“MECATRÔNICA”

Prof. Fernando Passold

6 de junho de 2014

1 Introdução

A idéia é modificar o firmware do Processo da Bola no Tubo acrescentando novas funcionalidades ao seu código original. Especificamente:

1. Implementar PID no formato “paralelo”;
2. Implementar filtro derivativo para controlador PD e PID.

Os alunos se organizam em equipes para realizar os trabalhos:

Equipe	Trabalho	Alunos
1	Implementação PID “paralelo”	DIEGO ARRUDA DA SILVEIRA JOEL RODRIGUES DA SILVA
2	Implementação Filtro Derivativo	DIEGO ZAMBIASI JULIANO TEOBALDO MULLER DE LIMA

Deadline (data de entrega prevista para o trabalho): 27/06/2014.

2 PID formato “paralelo”

A idéia aqui é modificar o algoritmo PID de velocidade originalmente implementado no processo da Bola no Tubo para que outra arquitetura, a do PID “paralelo”.

O PID originalmente implementando apesar de permitir o ajuste “individual” dos parâmetros: K_c , T_i e T_d foi implementado de tal forma (arquitetura ISA) que uma alteração no parâmetro K_c implica sutil alteração (dentro da equação de diferenças que corresponde à esta lei de controle) a mudanças na ação Integrativa e Derivativa, uma vez que este parâmetro age também sobre a equação dos termos relacionados individualmente com a parte Integrativa e Derivativa.

A idéia é propor e implementar o PID no formato paralelo onde uma alteração em qualquer um de seus parâmetros: K_c , T_i ou K_i e T_d ou K_d não implique influências em outras ações do controle PID. Isto é:

- Alterar $K_c \rightarrow K_p$: implica somente alterar o ganho proporcional que age sobre o erro do sistema em malha-fechada;
- Alterar T_i ou $K_i \rightarrow$ implique somente modificar o ganho da parte Integrativa da ação do PID;
- Alterar T_d ou $K_d \rightarrow$ implique modificar apenas o comportamento da parte Derivativa do PID.

Para tanto, a equipe pode partir da lei de controle PID tradicionalmente expressa no plano-s e usar o método de Tustin para obter a correspondente expressão no plano-z (e a partir desta expressão obter a correspondente equação de diferenças) ou pode-se (usando as tradicionais relações de Euler – aproximações numéricas para integrais e derivadas) para a correspondente equação de diferenças que corresponda ao PID no formato “paralelo”. Ressalta-se que neste formato, os termos K_c (ou K_p), T_i (ou T_i) e T_d (ou K_d) devem aparecer de forma isolada uns dos outros na equação de controle, desta foram, para cada ação do controlador PID: Proporcional + Integral + Derivativo, corresponderá um termo de ajuste que não influencia (quando modificado) as outras ações.

Comumente a função transferência contínua do controlador PID ideal é dada por:

$$C(s) = K_p + \frac{K_i}{s} + K_d s \quad (1)$$

Existem várias maneiras para mapear do plano-s para o plano-z. A maneira mais precisa é através da definição da transformada Z:

$$z = e^{Ts} \quad (2)$$

Mas é impossível se obter a função transferência discreta do controlador PID desta forma, pois o grau do polinômio do numerador resulta maior que o grau do polinômio do denominador o que implica numa equação de controle não realizável (surtem termos futuros na equação de diferenças). Então pode-se empregar a seguinte transformação bilinear:

$$s = \frac{2}{Ts} \cdot \frac{(z-1)}{(z+1)} \quad (3)$$

Este método de transformação bilinear é conhecido como método de Tustin. O método de Tustin pode ser acessado no MATLAB usando-se o comando `c2d(·)`, ver exemplo à seguir:

```

1 >> Kp = 100; % segue-se exemplos arbitrarios para Kp, Ki e Kd
2 >> Ki = 200;
3 >> Kd = 10;
4 >> num = [ 1 0 ]; % polinomio no plano-s que corresponde ao numerador do PID
5 >> den = [ Kd Kp Ki ]; % polinomio no plano-s que corresponde ao denominador do PID
6 >> C = tf (num,den) % cria um objeto transfer function continuo no MATLAB
7 C =
8
9      s
10  -----
11  10 s^2 + 100 s + 200
12 Continuous-time transfer function.
13 >> T = 0.047; % especifica o periodo de amostragem a ser adotado (em segundos)
14 >> Cd=c2d(C,T,'tustin') % determina C(z) - versao discreta do PID
15 Cd =
16      0.001886 z^2 - 0.001886
17      -----
18      z^2 - 1.587 z + 0.6228
19 Sample time: 0.047 seconds
20 Discrete-time transfer function.
21 >> zpk (Cd) % apresenta C(z) fatorado (polos e zeros separados)
22 ans =
23      0.001886 (z+1) (z-1)
24      -----
25      (z-0.878) (z-0.7093)
26 Sample time: 0.047 seconds
27 Discrete-time zero/pole/gain model.
28 >>

```

3 Filtro Derivativo

A idéia aqui é melhorar o comportamento do PID atuando sobre o processo da bola no tubo – ver figura 1.

Para tanto, a idéia é agir somente sobre a ação Derivativa do controlador PID incorporando um filtro para a parte relacionado com o cálculo da derivada do erro – ver figura 2.

Para tanto, um simples filtro Passa-Baixa de primeira ordem permite acrescentar esta funcionalidade ou pode-se usar a seguinte aproximação:

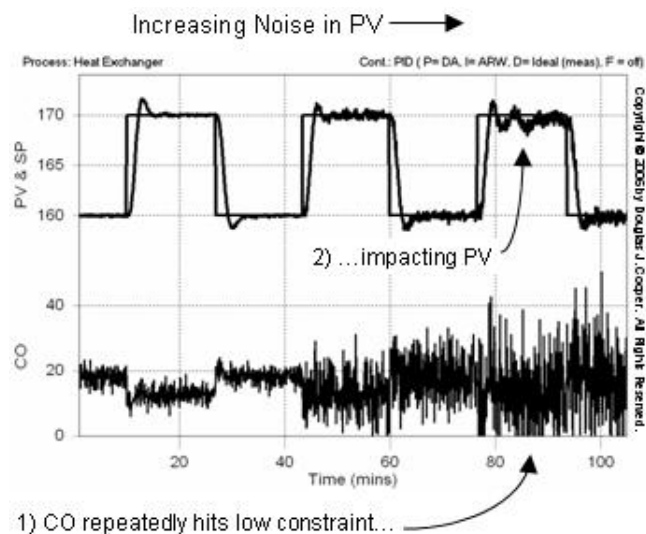
$$D(s) = \frac{K_c T_d s}{1 + \frac{T_d}{N} s} \quad (4)$$

onde $3 \leq N \leq 20$. Normalmente se emprega $N = 10$. Com isto, o ganho em baixas frequências (para a parte derivativa da ação de controle PID, $D(s)$) é praticamente mantido inalterado, mas em altas frequências (quando $s \rightarrow \infty$) fica limitado à $K_c N$ [1](pág. 7-8).

De todas as formas, não importa a forma como o filtro derivativo passa-baixa de 1a-ordem foi obtido, chega-se a uma equação do tipo:

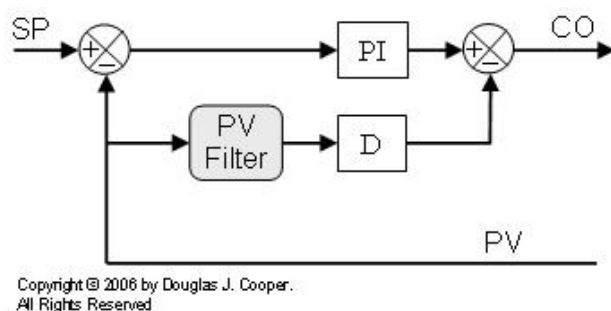
$$D[k] = a_i D[k-1] + b_i (y[k] - y[k-1]) \quad (5)$$

onde o que muda é o valor dos coeficientes a_i e b_i . Caon [1](pág. 15) realiza alguns comentários relacionados a forma como foi obtida a equação de diferenças da ação derivativa. Sugere-se que a equipe use o método de Tustin (como mostrado no item anterior) para eventualmente obter a correspondente equação de diferenças a

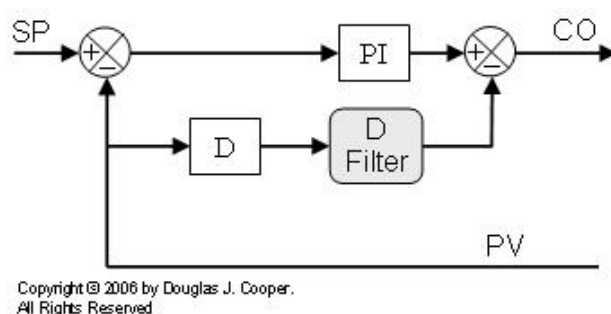


Onde: PV = *Process Variable* (saída do processo), CO = *controller output* (sinal de controle).

Figura 1: Impacto do ruído numa ação de controle PID (extraído de [2]).



(a) Pré-Filtro.



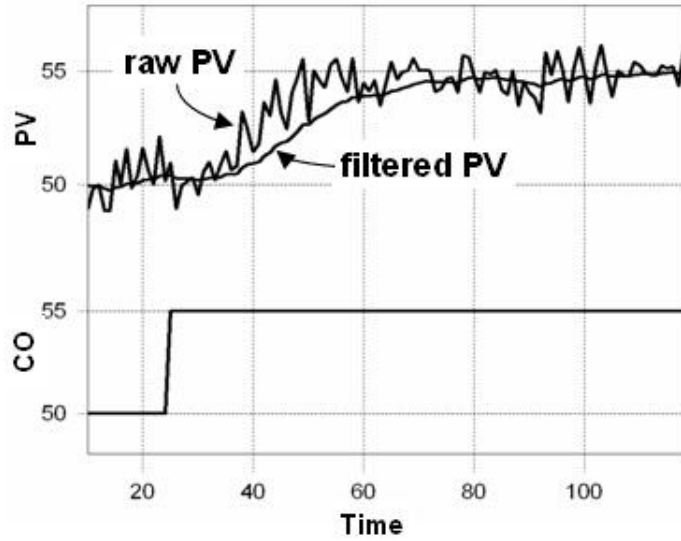
(b) Pós-Filtro.

Onde: SP = *set point value* (Referência), PV = *Process Variable* (saída do processo), CO = *controller output* (sinal de controle).

Figura 2: Introdução de Filtros Derivativos numa malha de controle (extraído de [2]).

partir da equação do filtro no plano-s.

Mais informações sobre Filtros Derivativos pode ser obtido em: [2](item Using Signal Filters In Our PID Loop: <http://www.controlguru.com/wp/p82.html>) – ver figura 3.



Onde: PV = *Process Variable* (saída do processo), CO = *controller output* (sinal de controle).

Figura 3: Comportamento de um filtro derivativo (extraído de [2]).

Na prática de trabalhos com este kit, já foi percebido que a simples introdução de um filtro passa-baixa de 1a-ordem com frequência de corte em 0,6 Hz já permite alcançar resultados interessantes – ver figura 4.

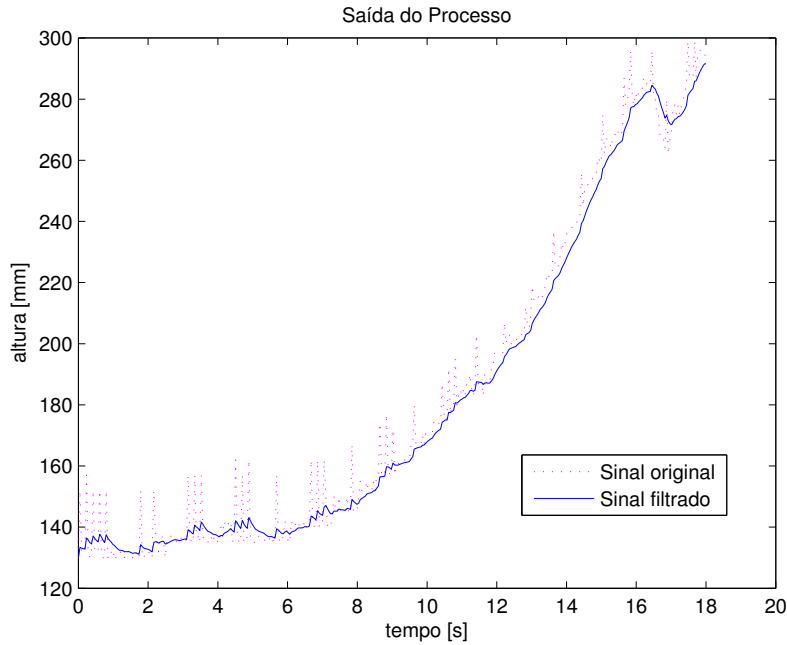


Figura 4: Exemplo de atuação de filtro com $f_c = 0,6$ (Hz) aplicado no processo da Bola no Tubo.

4 Outras Referências

Outras referências para implementação dos algoritmos exigidos neste trabalho podem ser obtidas em: [2], [3],

A Filtro Passa Baixa Digital

Um filtro PB de 1a-ordem no formato digital é dado por:

$$y[k] = \alpha x[k] + (1 - \alpha) y[k - 1] \quad (6)$$

onde: $y[k]$ =saída atual do filtro; $y[k - 1]$ =amostra atrasada da saída do filtro (de um período de amostragem), $x[k]$ =sinal de entrada (sem atraso); α =fator de amortecimento ($0 \leq \alpha \leq 1$) e onde α é calculado como:

$$\alpha = \frac{T_s}{(RC + T_s)}$$

onde: T_s =valor do período de amostragem adotado e RC =constante de tempo do filtro (a mesma que seria usada num filtro PB analógico formado por um circuito TC). Este tipo de filtro é dito também de média móvel de ponderação exponencial.

Este filtro (eq. 6) no formato de um algoritmo para MATLAB (`lowpass.m`) fica:

```

1 % Filtro passa-baixa de 1a-ordem
2 % Média móvel de ponderação exponencial (EWMA)
3 %
4 % function y=lowpass(x,Ts,RC)
5 %
6 % Parâmetros de entrada:
7 %   RC=1/(2*pi*fc)=constante de tempo do filtro
8 %   Ts=período de amostragem adotado (em s)
9 % onde:
10 %   fc=freq. de corte do filtro (em Hz)
11 % Internamente ser calculado 'alpha':
12 % alpha = Ts/(RC+Ts) = parâmetro do filtro
13 % importante que Ts <= RC/5, senão este filtro apresenta
14 % um comportamento muito diferente do esperado.
15 function y=lowpass(x,Ts,RC)
16     alpha=Ts/(RC+Ts)
17     fprintf('RC/Ts=%7.4f (esperado >= 5)\n',RC/Ts);
18     if (Ts>(RC/5))
19         fprintf('Warning: the filter may behave quite differently from the original continuous-time\n');
20     end
21     y(1)=x(1);
22     amostras=length(x);
23     for i=2:amostras
24         % y(i)= alpha*x(i) + (1-alpha)*y(i-1); % eq. (1)
25         y(i)= y(i-1) + alpha*(x(i) - y(i-1)); % eq. (2)
26     end
27 % return y

```

lowpass.m

A equação (6) pode ser re-escrita no formato:

$$y[k] = y[k - 1] + \alpha \cdot (x[k] - y[k - 1]) \quad (7)$$

Realizando um teste: suponha que o sinal a ser filtrado seja dado por: $y(t) = 2 \sin(2\pi 1) + 1/4 \sin(2\pi 50)$ - conforme mostra a figura 5(a), ou seja, o sinal principal oscila a 1 Hz enquanto sobreposto a este sinal há um ruído de 25% de amplitude e frequência de 50 Hz. Se for aplicado um FPB com $f_c = 5$ [Hz], no formato digital trabalhando com período de amostragem de $T_s = 1$ [ms] ($f_s = 1$ KHz), obteremos algo como mostrado na figura 5(b). Aplicando esta informação sobre a rotina de teste mostrada abaixo (`sinal.m`), obtêm-se o resultado mostrado na figura 5(b).

```

1 % sinal.m
2 % montando sinal x(:,1) no tempo para teste do filtro PB
3 % entradas:
4 %   Ts= período de amostragem
5 %   f= frequência base da senoide
6 clear x
7 i=0; % contador do número da amostra
8 f=1;
9 T=1/f;
10 for k=0:Ts:(1.5*T) % gera 2,5 períodos
11     i=i+1;
12     x(i,1)=k; % variável tempo
13     x(i,2)=2*sin(2*pi*1*k)+0.5*sin(2*pi*50*k); % sinal base + "ruído"
14     x(i,3)=2*sin(2*pi*1*k); % sinal base
15 end
16 figure; plot(x(:,1),x(:,2),'b-', x(:,1),x(:,3),'m-')

```

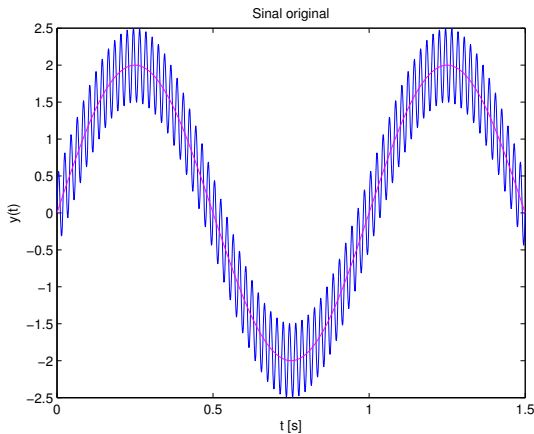
sinal.m

Comandos usados no MATLAB:

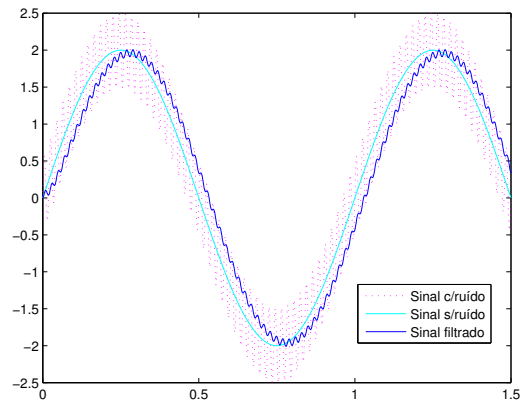
```

1 >> Ts=1e-3;
2 >> sinal
3 >> RC=1/(2*pi*5)
4 RC =
5     0.0318
6 >> y=lowpass(x(:,2),Ts,RC);
7 alpha =
8     0.0305
9 RC/Ts=31.8310
10 >> figure; plot(x(:,1),x(:,2),'m:', x(:,1),x(:,3),'c-', x(:,1),y,'b-')
11 >> legend('Sinal c/ruído','Sinal s/ruído','Sinal filtrado')

```



(a) Sinal original.



(b) Sinal filtrado.

Figura 5: Teste do filtro digital FPB.

Note pela figura 5(b) que como a frequência do ruído está uma década acima da frequência de corte do filtro, sua amplitude decaiu de 20 dB ou seja de 1/10.

Referências

- [1] CAON JUNIOR, José Roberto. Controladores PID industriais com sintonia automática por realimentação a relê. 1999. Dissertação (Mestrado em Engenharia Elétrica) - Escola de Engenharia de São Carlos, Universidade de São Paulo, São Carlos, 1999. Disponível em: <http://www.teses.usp.br/teses/disponiveis/18/18133/tde-04042001-172532/>. Acesso em: 2014-06-06.
- [2] Cooper, Doug J., Practical Process Control: Proven Methods and Best Practices for Automatic PID Control, <http://www.controlguru.com/pages/table.html>. Acesso em 2014-06-06.
- [3] BERTO, Maria Isabel; SA, Fabiana Rodrigues de and SILVEIRA JR., Vivaldo. Avaliação de controles PID adaptativos para um sistema de aquecimento resistivo de água. Ciênc. Tecnol. Aliment. [online]. 2004, vol.24, n.3, pp. 478-485. ISSN 1678-457X. <http://dx.doi.org/10.1590/S0101-20612004000300030> ou <http://www.scielo.br/pdf/cta/v24n3/21946.pdf>. Acessado em 2014-06-06.